

УДК 539.422.22

## ЛОКАЛЬНАЯ ПЛОТНОСТЬ ЭНЕРГИИ ДЕФОРМАЦИИ В ОКРЕСТНОСТИ ОСТРЫХ V-ОБРАЗНЫХ ВЫРЕЗОВ В ПЛАСТИНАХ

Ю. Н. Овчаренко

Тульский государственный университет, 300600 Тула  
E-mail: ovcharenkos@rambler.ru

Предложены условия разрушения теории локальной плотности энергии деформации, первоначально сформулированные Дж. Си для острого V-образного выреза с произвольным углом раскрытия. Берега рассматриваемого V-образного выреза свободны от нагрузок. Показано, что при использовании схем нагружения типа I и типа II известные условия хрупкого разрушения, предложенные Дж. Си, противоречат одному из основных положений в механике разрушения: чем больше интенсивность напряжений или упругой энергии вблизи вершины V-образного выреза, тем больше вероятность возникновения в ней трещины. Предлагаемые новые условия разрушения (в полярной системе координат) получены в результате независимого определения плотностей энергий изменения объема и формы. В этом случае указанные выше противоречия отсутствуют.

Ключевые слова: V-образный вырез, плотность энергии деформации, схемы нагружения типа I и типа II, направление распространения трещины, локальный критерий разрушения.

**1. Основные положения теории разрушения Дж. Си в случае V-образного выреза.** Для острого V-образного выреза с произвольным углом раскрытия Дж. Си предложил модель разрушения материала, в которой используется локальная плотность потенциальной энергии деформации [1]. Известный критерий разрушения для линейного разреза в виде трещины является частным случаем модели [1]. Плотность энергии деформации вблизи вершины V-образного выреза является функцией линейно-упругих деформаций.

Запишем в общем виде формулу для плотности энергии деформации в цилиндрической системе координат:

$$W = \frac{1}{2} (\sigma_r \varepsilon_r + \sigma_\theta \varepsilon_\theta + \sigma_z \varepsilon_z + \tau_{r\theta} \gamma_{r\theta} + \tau_{\theta z} \gamma_{\theta z} + \tau_{zr} \gamma_{zr}).$$

Далее рассматривается плоская задача:

$$W = \frac{1}{2} (\sigma_r \varepsilon_r + \sigma_\theta \varepsilon_\theta + \tau_{r\theta} \gamma_{r\theta}).$$

Это выражение можно записать с использованием напряжений и перемещений:

$$W = \frac{1}{2} \left[ \sigma_r \frac{\partial u_r}{\partial r} + \sigma_\theta \left( \frac{u_r}{r} + \frac{1}{r} \frac{\partial u_\theta}{\partial \theta} \right) + \tau_{r\theta} \left( \frac{1}{r} \frac{\partial u_r}{\partial \theta} + \frac{\partial u_\theta}{\partial r} - \frac{u_\theta}{r} \right) \right]. \quad (1)$$

Выражения для асимптотических напряжений и перемещений вблизи вершины V-образного выреза представляются в следующем виде [2]:

$$\begin{aligned} \begin{bmatrix} \sigma_r \\ \sigma_\theta \\ \tau_{r\theta} \end{bmatrix} &= C_{1\alpha} r^{\lambda_1-1} \lambda_1 \begin{bmatrix} (\lambda_1 - 1)f_1(\alpha) \cos(\lambda_1 + 1)\theta - (\lambda_1 - 3) \cos(\lambda_1 - 1)\theta \\ -(\lambda_1 - 1)f_1(\alpha) \cos(\lambda_1 + 1)\theta + (\lambda_1 + 1) \cos(\lambda_1 - 1)\theta \\ (\lambda_1 - 1)[-f_1(\alpha) \sin(\lambda_1 + 1)\theta + \sin(\lambda_1 - 1)\theta] \end{bmatrix} + \\ &+ C_{2\alpha} r^{\lambda_2-1} \lambda_2 \begin{bmatrix} (\lambda_2 + 1)f_2(\alpha) \sin(\lambda_2 + 1)\theta - (\lambda_2 - 3) \sin(\lambda_2 - 1)\theta \\ (\lambda_2 + 1)[-f_2(\alpha) \sin(\lambda_2 - 1)\theta + \sin(\lambda_2 - 1)\theta] \\ (\lambda_2 + 1)f_2(\alpha) \cos(\lambda_2 + 1)\theta - (\lambda_2 - 1) \cos(\lambda_2 - 1)\theta \end{bmatrix}, \quad (2) \\ \begin{bmatrix} 2\mu u_r \\ 2\mu u_\theta \end{bmatrix} &= C_{1\alpha} r^{\lambda_1} \begin{bmatrix} (\lambda_1 - 1)f_1(\alpha) \cos(\lambda_1 + 1)\theta + (k - \lambda_1) \cos(\lambda_1 - 1)\theta \\ -(\lambda_1 - 1)f_1(\alpha) \sin(\lambda_1 + 1)\theta + (k + \lambda_1) \sin(\lambda_1 - 1)\theta \end{bmatrix} + \\ &+ C_{2\alpha} r^{\lambda_2} \begin{bmatrix} (\lambda_2 + 1)f_2(\alpha) \sin(\lambda_2 + 1)\theta + (k - \lambda_2) \sin(\lambda_2 - 1)\theta \\ (\lambda_2 + 1)f_2(\alpha) \cos(\lambda_2 + 1)\theta - (k + \lambda_2) \cos(\lambda_2 - 1)\theta \end{bmatrix}. \end{aligned}$$

Здесь  $\lambda_1, \lambda_2$  — первые положительные собственные числа характеристических уравнений  $\lambda_1 \sin(2\pi - \alpha) = -\sin \lambda_1(2\pi - \alpha)$  и  $\lambda_2 \sin(2\pi - \alpha) = \sin \lambda_2(2\pi - \alpha)$  соответственно;  $\alpha$  — угол раскрытия V-образного выреза;  $\mu = E/[2(1 + \nu)]$  — модуль сдвига;  $E$  — модуль упругости первого рода;  $\nu$  — коэффициент Пуассона;  $k = (3 - \nu)/(1 + \nu)$  в случае плосконапряженного состояния,  $k = 3 - 4\nu$  в случае плоской деформации (в данной работе рассматривается задача плоской деформации);  $f_1(\alpha) = \sin(\lambda_1 - 1)(\pi - \alpha/2)/[\sin(\lambda_1 + 1)(\pi - \alpha/2)]$ ;  $f_2(\alpha) = \sin(\lambda_2 - 1)(\pi - \alpha/2)/[\sin(\lambda_2 + 1)(\pi - \alpha/2)]$ ;  $C_{1\alpha}, C_{2\alpha}$  — коэффициенты интенсивности напряжений вблизи вершины V-образного выреза для схем нагружения типа I и типа II. В частности, для линейной трещины ( $\alpha = 0$ )  $C_1 = K_I/\sqrt{2\pi}$ ,  $C_2 = K_{II}/\sqrt{2\pi}$  ( $K_I, K_{II}$  — коэффициенты интенсивности напряжений для задач о трещинах).

Запишем формулы (2) в виде, более удобном для дальнейших преобразований:

$$\begin{aligned} \begin{bmatrix} \sigma_r \\ \sigma_\theta \\ \tau_{r\theta} \end{bmatrix} &= C_{1\alpha} r^{\lambda_1-1} \begin{bmatrix} A_1 \\ B_1 \\ D_1 \end{bmatrix} + C_{2\alpha} r^{\lambda_2-1} \begin{bmatrix} A_2 \\ B_2 \\ D_2 \end{bmatrix}, \quad (3) \\ \begin{bmatrix} 2\mu u_r \\ 2\mu u_\theta \end{bmatrix} &= C_{1\alpha} r^{\lambda_1} \begin{bmatrix} E_1 \\ F_1 \end{bmatrix} + C_{2\alpha} r^{\lambda_2} \begin{bmatrix} E_2 \\ F_2 \end{bmatrix} \end{aligned}$$

( $A_1, A_2, B_1, B_2, D_1, D_2, E_1, E_2, F_1, F_2$  определяются соотношениями (2)).

Подставляя (3) в формулу (1), получаем выражение для плотности энергии деформации вблизи вершины V-образного выреза

$$W = \frac{1}{4\mu} (a_{11} C_{1\alpha}^2 r^{2(\lambda_1-1)} + a_{12} C_{1\alpha} C_{2\alpha} r^{\lambda_1+\lambda_2-2} + a_{22} C_{2\alpha}^2 r^{2(\lambda_2-1)}), \quad (4)$$

где параметры  $a_{11}, a_{12}, a_{22}$  определяются из матричного уравнения

$$\begin{aligned} \begin{bmatrix} a_{11} \\ a_{12} \\ a_{22} \end{bmatrix} &= A_1 \begin{bmatrix} \lambda_1 E_1 \\ \lambda_2 E_2 \\ 0 \end{bmatrix} + A_2 \begin{bmatrix} 0 \\ \lambda_1 E_1 \\ \lambda_2 E_2 \end{bmatrix} + B_1 \begin{bmatrix} F_1 + F'_1 \\ E_2 + F'_2 \\ 0 \end{bmatrix} + B_2 \begin{bmatrix} 0 \\ F_1 + F'_1 \\ E_2 + F'_2 \end{bmatrix} + \\ &+ D_1 \begin{bmatrix} E'_1 + (\lambda_1 - 1)F_1 \\ E'_2 + (\lambda_2 - 1)F_2 \\ 0 \end{bmatrix} + D_2 \begin{bmatrix} 0 \\ E'_1 + (\lambda_1 - 1)F_1 \\ E'_2 + (\lambda_2 - 1)F_2 \end{bmatrix}, \end{aligned}$$

$E'_1, E'_2, F'_1, F'_2$  — соответствующие функции, продифференцированные по  $\theta$ .

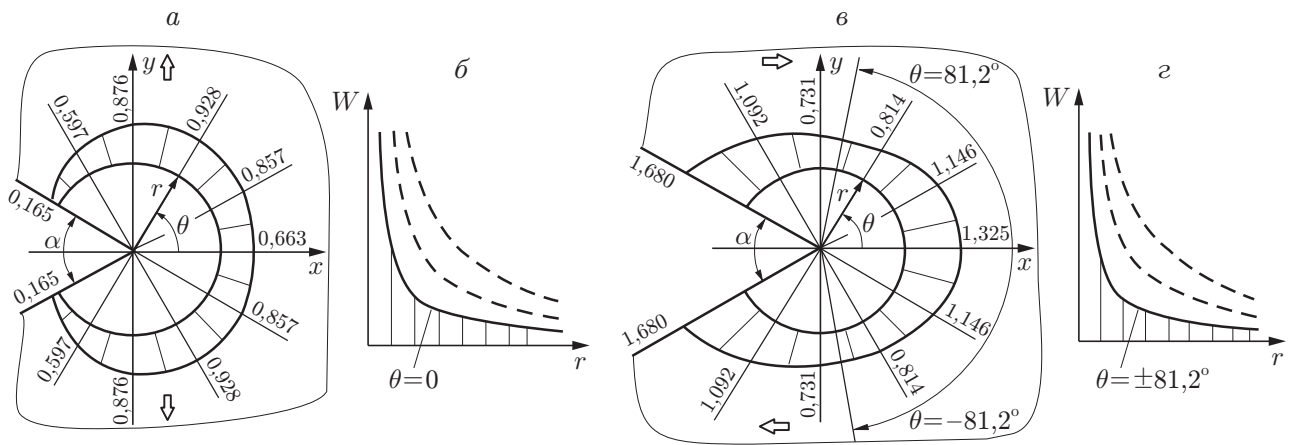


Рис. 1. Эпюры плотности энергии деформации  $W = (\sigma_r \varepsilon_r + \sigma_\theta \varepsilon_\theta + \tau_{r\theta} \gamma_{r\theta})/2$ , построенные по окружной координате (а, в) и радиусу (б, г): а, б — нагружение по схеме типа I, в, г — нагружение по схеме типа II

В случае линейной трещины выражение (4) принимает вид [3]

$$W = \frac{1}{r} (a_{11}C_1^2 + 2a_{12}C_1C_2 + a_{22}C_2^2), \tag{5}$$

где

$$\begin{bmatrix} a_{11} \\ a_{12} \\ a_{22} \end{bmatrix} = \frac{1}{8\mu} \begin{bmatrix} (1 + \cos \theta)(k - \cos \theta) \\ [2 \cos \theta - (k - 1)] \sin \theta \\ k(1 - \cos \theta) + (1 + 3 \cos \theta) \cos \theta \end{bmatrix}.$$

Рассмотрим более подробно выражение (4). В случае нормального разрыва V-образного выреза (схема нагружения типа I), т. е. при  $C_{2\alpha} = 0$ , имеем

$$W = \frac{1 + \nu}{2E} C_{1\alpha}^2 r^{2(\lambda_1 - 1)} \{A_1 E_1 \lambda_1 + B_1 (E_1 + F_1') + D_1 [E_1' + (\lambda_1 - 1) F_1]\}. \tag{6}$$

На рис. 1, а, б показана эпюра плотности энергии деформации  $W$  (см. (6)), полученная при  $\alpha = 60^\circ$ ,  $r = 1$ ,  $E = 1$ ,  $\nu = 0,25$ ,  $C_{1\alpha} = 1$ . Заметим, что при  $\theta_{cr} = 0$  функция плотности энергии  $W$  имеет минимум.

В случае поперечного сдвига V-образного выреза (схема нагружения типа II), т. е. при  $C_{1\alpha} = 0$ , имеем

$$W = \frac{1 + \nu}{2E} C_{2\alpha}^2 r^{2(\lambda_2 - 1)} \{A_2 E_2 \lambda_2 + B_2 (E_2 + F_2') + D_2 [E_2' + (\lambda_2 - 1) F_2]\}. \tag{7}$$

На рис. 1, в, г показана эпюра плотности энергии деформации  $W$  (см. (7)), полученная при  $\alpha = 60^\circ$ ,  $r = 1$ ,  $E = 1$ ,  $\nu = 0,25$ ,  $C_{2\alpha} = 1$ . При  $\theta_{cr} = \pm 81,2^\circ$  функция плотности  $W$  имеет два одинаковых минимума.

Согласно теории Дж. Си в тот момент, когда энергия деформации  $W$ , накопившаяся в элементарном объеме материала, на определенном расстоянии  $r_{cr}$  от вершины V-образного выреза в некотором направлении  $\theta_{cr}$  достигает критического значения  $W_{cr}$ , начинается разрушение. Расстояние  $r_{cr}$  трактуется как весьма малый радиус цилиндрической центральной зоны вблизи вершины трещины, внутри которой материал вследствие сингулярности напряжений нельзя считать сплошной средой. Например, для высокопрочной стали марки 4140 радиус  $r_{cr}$ , зафиксированный в экспериментах, составляет  $0,0165 \div 0,3416$  мм [4].

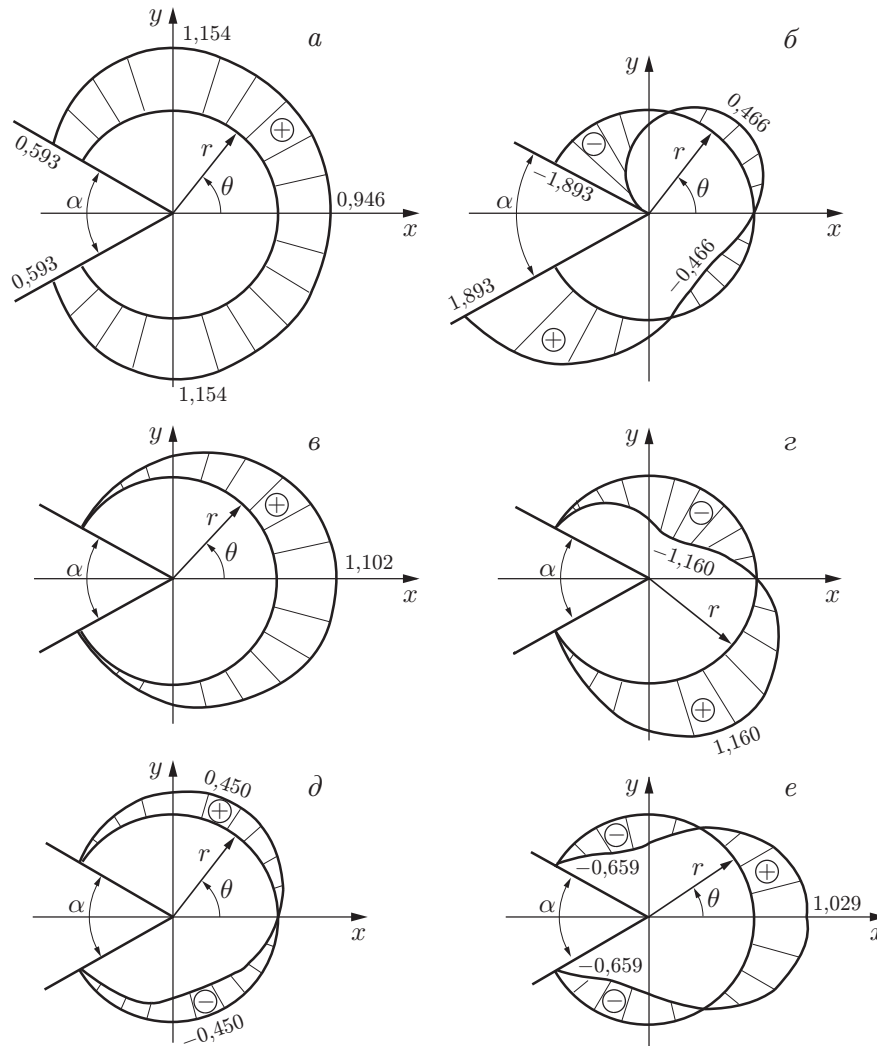


Рис. 2. Напряженное состояние вблизи вершины V-образного выреза:  
 а, в, д — нагружение по схеме типа I, б, з, е — нагружение по схеме типа II;  
 а, б — радиальное напряжение  $\sigma_r$ , в, з — окружное напряжение  $\sigma_\theta$ , д, е — касательное  
 напряжение  $\tau_{r\theta}$

При использовании теории Дж. Си необходимо провести анализ напряженного состояния, в частности определить знаки напряжений (рис. 2), поскольку энергетическая характеристика  $W$  не позволяет установить, в каких случаях нормальные напряжения являются растягивающими или сжимающими и в каких случаях касательные напряжения действуют по часовой стрелке или против нее. Это важно знать, чтобы выполнить оценку возможности разрушения и определить его направление.

Ниже приводятся условия разрушения острого V-образного выреза, предложенные Дж. Си [1].

1. Направление  $\theta_{cr}$  разрушения за счет сдвига или разрыва определяется максимумом или минимумом плотности энергии деформации  $W$  соответственно:  $\partial W / \partial \theta = 0$  при  $\theta_{cr} = \theta$ ;  $\partial^2 W / \partial \theta^2 < 0$  при сдвиге;  $\partial^2 W / \partial \theta^2 > 0$  при разрыве.

2. Разрушение происходит в направлении  $\theta_{cr}$ , определенном условием 1, когда максимум  $W$  при сдвиге или минимум  $W$  при разрыве достигает критического значения  $W_{cr}$ .

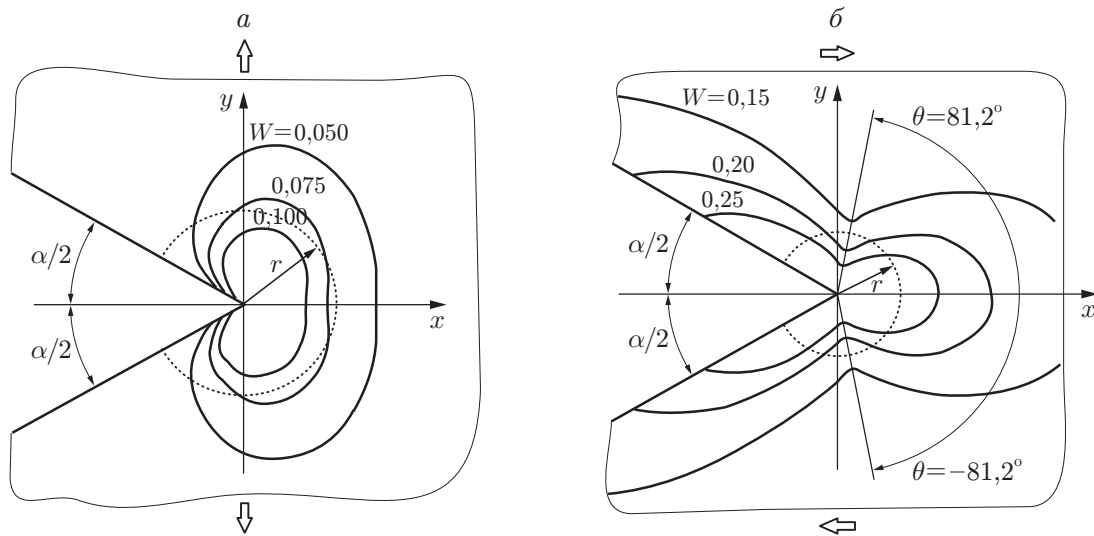


Рис. 3. Изолинии плотности энергии деформации  $W = (\sigma_r \varepsilon_r + \sigma_\theta \varepsilon_\theta + \tau_{r\theta} \gamma_{r\theta})/2$ :  $a$  — нагружение по схеме типа I,  $b$  — нагружение по схеме типа II; пунктирные линии — линии пересечения поверхности  $W(x, y)$  с вертикальным относительно плоскости  $(x, y)$  цилиндром с произвольным радиусом  $r$

В обоих случаях критическая плотность энергии деформации  $W_{cr}$  может быть вычислена с использованием известных критических коэффициентов  $C_{1cr}$  и  $C_{2cr}$  (см. (4)), определяемых в экспериментах с образцами, имеющими V-образные вырезы.

С целью анализа условий разрушения, предложенных Дж. Си, рассмотрим случай нормального разрыва пластины с V-образным вырезом (схема нагружения типа I). На рис. 3,  $a$  приведены построенные с использованием формулы (6) изолинии плотности  $W = (\sigma_r \varepsilon_r + \sigma_\theta \varepsilon_\theta + \tau_{r\theta} \gamma_{r\theta})/2$  при  $E = 1$ ,  $C_{1\alpha} = 1$ ,  $\nu = 0,25$  (сплошные линии), а также линия пересечения поверхности  $W(x, y)$  с вертикальным относительно плоскости  $(x, y)$  цилиндром с произвольным радиусом  $r$  (пунктирная линия). Каждой точке линий пересечения соответствует некоторое значение плотности энергии деформации  $W$ . В трехмерном пространстве  $(x, y, W)$  линия пересечения представляет собой линию с минимумом  $W$  в направлении  $\theta = 0$ , которое, как известно, является наиболее вероятным направлением распространения трещины при нагружении по схеме типа I. Таким образом, минимум  $W$  может быть использован при определении направления распространения трещины в случае нагружения по схеме типа I. Это свойство лежит в основе условия 1.

Выполним теоретическое обоснование условия 1. На рис. 1,  $b$  приведена эпюра асимптотической плотности  $W$  в случае нагружения по схеме типа I при  $\theta_{cr} = 0$ , построенная с использованием формулы (6). Штриховыми линиями показаны эпюры плотности энергии деформации  $W$ , расположенные выше эпюры  $W$ , полученной при  $\theta_{cr} = 0$ . При  $\theta_{cr} \neq 0$  наиболее высока вероятность возникновения трещины. Этот вывод, соответствующий одному из основных положений в механике разрушения, используемых при анализе асимптотического напряженного состояния вблизи вершины острого V-образного выреза (в частности, трещины): чем больше интенсивность напряжений или плотности упругой энергии, тем больше вероятность разрушения, — противоречит теории Дж. Си. При нормальном разрыве критическим направлением является  $\theta_{cr} = 0$ .

Аналогично рассматривается случай поперечного сдвига V-образного выреза (схема нагружения типа II). На рис. 3,  $b$  приведены построенные с использованием формулы (7) изолинии плотности  $W$  при  $E = 1$ ,  $C_{2\alpha} = 1$ ,  $\nu = 0,25$  (сплошные линии), а также линия

пересечения поверхности  $W(x, y)$  с вертикальным цилиндром, имеющим произвольный радиус  $r$  (пунктирная линия). Каждой точке этой линии соответствует некоторое значение плотности энергии деформации  $W$ . В трехмерном пространстве  $(x, y, W)$  линия пересечения представляет собой линию с двумя одинаковыми минимумами  $W$  при  $\theta_{cr} = \pm 81,2^\circ$ . По аналогии с рассмотренным выше случаем нагружения по схеме типа I Дж. Си, по-видимому, использовал условие 1 для оценки направления распространения трещины в задачах со схемой нагружения типа II. С учетом знака напряжений  $\sigma_\theta$  предсказанное с помощью теории Дж. Си направление распространения трещины определяется значением  $\theta_{cr} = -81,2^\circ$ .

Выполним теоретическое обоснование условия 1 в случае нагружения по схеме типа II. На рис. 1,2 приведена эпюра асимптотической плотности энергии деформации  $W$  в случае нагружения по схеме типа II при  $\theta_{cr} = \pm 81,2^\circ$ , построенная с использованием формулы (7). Из рис. 1,2 следует, что эпюры плотности  $W$ , полученные при  $\theta_{cr} = \pm 81,2^\circ$  (сплошная линия), расположены ниже соответствующих эпюр, полученных при других значениях  $\theta$  (штриховые линии). Следовательно, значения  $\theta_{cr} = \pm 81,2^\circ$  не могут определять наиболее вероятные направления распространения трещины.

**2. Модификация теории Дж. Си.** При разработке теории разрушения пластин с острыми V-образными вырезами (в частности, с линейными трещинами) Дж. Си использовал сумму энергий изменения объема и формы (в полярной системе координат):

$$W = W_\sigma + W_\tau$$

( $W_\sigma = (\sigma_r \varepsilon_r + \sigma_\theta \varepsilon_\theta)/2$  — энергия изменения элементарного объема при действии только нормальных напряжений  $\sigma_r$  и  $\sigma_\theta$ ;  $W_\tau = \tau_{r\theta} \gamma_{r\theta}/2$  — энергия изменения формы элементарного объема при действии только касательных напряжений  $\tau_{r\theta}$ ). Вследствие различия характера разрушений (отрыв и сдвиг) в элементарном объеме вблизи вершины острого V-образного выреза энергии  $W_\sigma$  и  $W_\tau$  должны определяться независимо.

Таким образом, для получения энергетической оценки напряженно-деформированного состояния вблизи вершины трещины вместо одного соотношения (4) предлагается использовать два независимых выражения:

$$W_\sigma = \frac{1}{4\mu} (C_{1\alpha}^2 r^{2(\lambda_1-1)} a_{11\sigma} + C_{1\alpha} C_{2\alpha} r^{\lambda_1+\lambda_2-2} a_{12\sigma} + C_{2\alpha}^2 r^{2(\lambda_2-1)} a_{22\sigma}), \quad (8)$$

где

$$\begin{bmatrix} a_{11\sigma} \\ a_{12\sigma} \\ a_{22\sigma} \end{bmatrix} = \lambda_1 E_1 \begin{bmatrix} A_1 \\ A_2 \\ 0 \end{bmatrix} + \lambda_2 F_2 \begin{bmatrix} 0 \\ A_1 \\ A_2 \end{bmatrix} + B_1 \begin{bmatrix} F_1 + F'_1 \\ E_2 + F'_2 \\ 0 \end{bmatrix} + B_2 \begin{bmatrix} 0 \\ F_1 + F'_1 \\ E_2 + F'_2 \end{bmatrix},$$

и

$$W_\tau = \frac{1}{4\mu} (C_{1\alpha}^2 r^{2(\lambda_1-1)} a_{11\tau} + C_{1\alpha} C_{2\alpha} r^{\lambda_1+\lambda_2-2} a_{12\tau} + C_{2\alpha}^2 r^{2(\lambda_2-1)} a_{22\tau}), \quad (9)$$

где

$$\begin{bmatrix} a_{11\tau} \\ a_{12\tau} \\ a_{22\tau} \end{bmatrix} = D_1 \begin{bmatrix} E'_1 + (\lambda_1 - 1)F_1 \\ E'_2 + (\lambda_2 - 1)F_2 \\ 0 \end{bmatrix} + D_1 \begin{bmatrix} 0 \\ E'_1 + (\lambda_1 - 1)F_1 \\ E'_2 + (\lambda_2 - 1)F_2 \end{bmatrix}.$$

В случае линейной трещины выражения (8), (9) принимают вид

$$W_\sigma = \frac{1}{r} [a_{11} C_1^2 + a_{12} C_1 C_2 + a_{22} C_2^2],$$

$$W_\tau = \frac{1}{r} \frac{1+\nu}{16E} \left[ C_1 \left( \sin \frac{\theta}{2} + \sin \frac{3\theta}{2} \right) + C_2 \left( \cos \frac{\theta}{2} + 3 \cos \frac{3\theta}{2} \right) \right]^2,$$

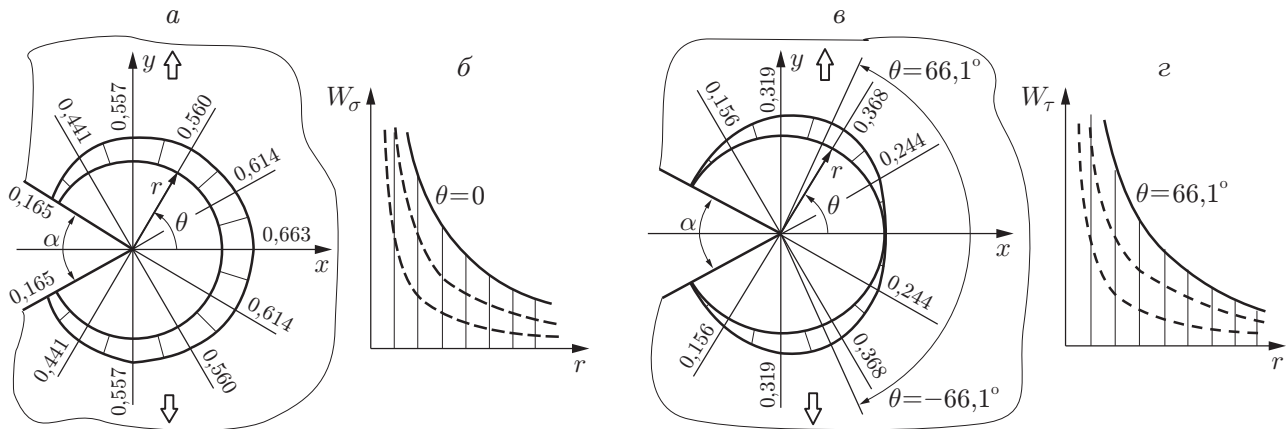


Рис. 4. Эпюры плотности энергии деформации, построенные по окружной координате (а, в) и радиусу (б, з), в случае нагружения по схеме типа I:  
 а, б —  $W_{\sigma} = (\sigma_r \varepsilon_r + \sigma_{\theta} \varepsilon_{\theta})/2$ ; в, з —  $W_{\tau} = \tau_{r\theta} \gamma_{r\theta}/2$

где

$$\begin{bmatrix} a_{11} \\ a_{12} \\ a_{22} \end{bmatrix} = \frac{1}{32\mu} \begin{bmatrix} (8k - 7) \cos^2 (\theta/2) - 2 \cos (\theta/2) \cos (3\theta/2) + \cos^2 (3\theta/2) \\ -(8k - 9) \sin \theta + 4 \sin 2\theta - 3 \sin 3\theta \\ (8k - 7) \sin^2 (\theta/2) - 6 \sin (\theta/2) \sin (3\theta/2) + 9 \sin^2 (3\theta/2) \end{bmatrix}.$$

Ниже приводятся модифицированные условия разрушения.

1. Распространение трещины из вершины острого V-образного выреза должно происходить в направлении  $\theta_{cr}$ , для которого плотности энергии деформации  $W_{\sigma}$  или  $W_{\tau}$  максимальны.

2. Распространение трещины происходит в направлении  $\theta_{cr}$ , определенном условием 1, когда деформация  $W_{\sigma}$  или  $W_{\tau}$  достигает максимального критического значения  $W_{\sigma cr}$  или  $W_{\tau cr}$ .

Иными словами, возможны два варианта возникновения трещины в вершине V-образного выреза: при разрыве материала в направлении  $\theta_{cr}$ , когда значение  $W_{\sigma}$  максимальное, или при сдвиге в направлении  $\theta_{cr}$ , когда значение  $W_{\tau}$  максимальное. Критические значения  $W_{\sigma cr}$ ,  $W_{\tau cr}$  для соответствующих  $\theta_{cr}$  вычисляются по известным критическим значениям коэффициентов  $C_{1cr}$  и  $C_{2cr}$  (с использованием формул (8), (9)), которые в свою очередь определяются по величине разрушающей нагрузки образцов с острыми V-образными вырезами.

На рис. 4 приведены эпюры плотности энергии деформации  $W_{\sigma}$  и  $W_{\tau}$  (схема нагружения типа I), полученные с использованием формул (8), (9) при  $E = 1$ ,  $C_1 = 1$ ,  $C_2 = 0$ ,  $\nu = 0,25$ . Из рис. 4,а,б следует, что максимальное значение  $W_{\sigma}$  достигается при  $\theta_{cr} = 0$ . Таким образом, разрушение путем отрыва должно произойти именно в этом направлении, поскольку напряжения  $\sigma_r$  и  $\sigma_{\theta}$  являются растягивающими (см. рис. 2,а,в). На рис. 4,б также видно, что асимптотическая эпюра  $W_{\sigma}(r)$ , полученная при  $\theta_{cr} = 0$ , расположена выше эпюр, полученных при других значениях  $\theta$  (штриховые линии). Этот результат соответствует основному положению в механике разрушения.

Из рис. 4,в,з следует, что максимальное значение  $W_{\tau}$  достигается при  $\theta_{cr} = \pm 66,1^{\circ}$ . Таким образом, разрушение путем сдвига должно произойти в этом направлении. На рис. 4,з видно, что асимптотическая эпюра  $W_{\tau}(r)$ , полученная при  $\theta_{cr} = \pm 66,1^{\circ}$ , расположена выше эпюр, полученных при других значениях  $\theta$  (штриховые линии). Можно предположить,

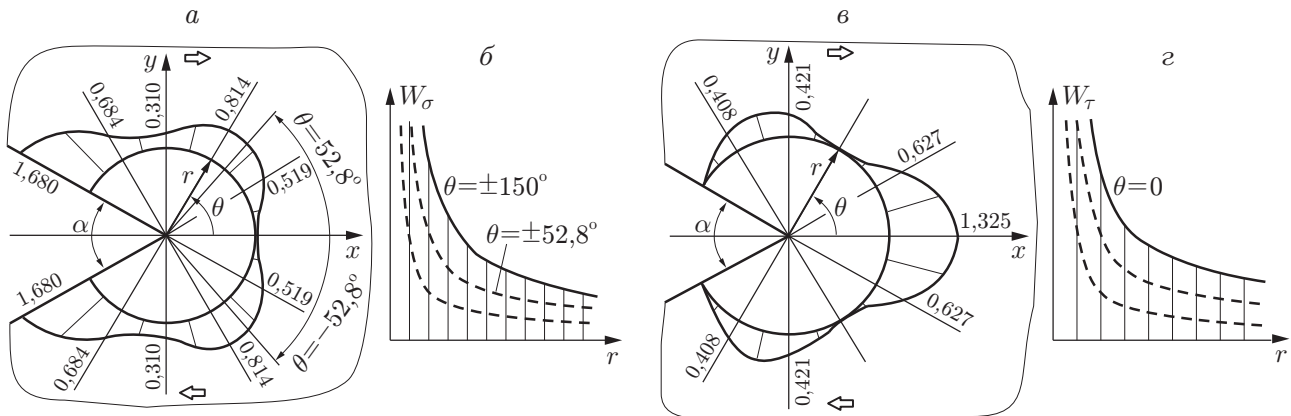


Рис. 5. Эпюры плотности энергии деформации, построенные по окружной координате (а, в) и радиусу (б, г), в случае нагружения по схеме типа II:

$$а, б — W_{\sigma} = (\sigma_r \varepsilon_r + \sigma_{\theta} \varepsilon_{\theta})/2; в, г — W_{\tau} = \tau_{r\theta} \gamma_{r\theta}/2$$

что на начальном этапе пластическое течение в окрестности вершины трещины будет происходить в направлениях  $\theta_{cr} = \pm 66,1^{\circ}$ .

Чтобы определить, какая энергия ( $W_{\sigma}$  или  $W_{\tau}$ ) в рассмотренной задаче (схема нагружения типа I) играет основную роль при разрушении, необходимо знать физические и механические свойства материала.

На рис. 5 представлены эпюры плотности энергии деформации  $W_{\sigma}$  и  $W_{\tau}$  (схема нагружения типа II), полученные с использованием формул (8), (9) при  $E = 1$ ,  $C_1 = 0$ ,  $C_2 = 1$ ,  $\nu = 0,25$ ,  $\alpha = 60^{\circ}$ . Из рис. 5, а, б следует, что максимальное значение  $W_{\sigma}$  достигается при  $\theta_{cr} = \pm 150^{\circ}$ . В этом случае преобладают напряжения  $\sigma_r$  (см. рис. 2, б), поэтому разрушение путем отрыва должно происходить в направлении, перпендикулярном этим направлениям. На рис. 5, б видно, что асимптотическая эпюра  $W_{\sigma}(r)$ , полученная при  $\theta_{cr} = \pm 150^{\circ}$ , расположена выше эпюр, полученных при других значениях  $\theta$ . Однако растягивающие напряжения  $\sigma_r$  действуют только при  $\theta_{cr} = -150^{\circ}$ , следовательно, распространение трещины должно происходить в этом направлении (точнее, перпендикулярно направлению  $\theta_{cr} = -150^{\circ}$ ).

**ЗАМЕЧАНИЕ.** Направление распространения трещины  $\theta_{cr} = -81,2^{\circ}$ , предсказанное теорией Дж. Си, в модифицированной теории не является наиболее опасным (см. рис. 5, а, б).

На рис. 5, в, г представлены эпюры плотности энергии деформации  $W_{\tau}$  (схема нагружения типа II) при  $E = 1$ ,  $C_1 = 0$ ,  $C_2 = 1$ ,  $\nu = 0,25$ . Из рис. 5, в, г следует, что максимальное значение  $W_{\tau}$  достигается при  $\theta_{cr} = 0$ . Таким образом, разрушение путем сдвига должно произойти именно в этом направлении. На рис. 5, г видно, что асимптотическая эпюра  $W_{\tau}(r)$ , полученная при  $\theta_{cr} = 0$ , расположена выше эпюр, полученных при других значениях  $\theta$  (штриховые линии). Это свидетельствует о том, что указанное направление является наиболее вероятным направлением распространения трещины при сдвиге.

Чтобы определить, какая энергия ( $W_{\sigma}$  или  $W_{\tau}$ ) в рассматриваемой задаче (схема нагружения типа II) играет основную роль при разрушении, необходимо знать физические и механические свойства материала.

**Заключение.** В работе проведен анализ сформулированных Дж. Си условий разрушения теории локальной плотности энергии деформации для острого V-образного выреза. Предложены новые условия разрушения, согласно которым возможны два варианта распространения трещины: в направлении, в котором максимальна энергия  $W_{\sigma}(\theta)$ , или в направлении, в котором максимальна энергия  $W_{\tau}(\theta)$ .

Следует отметить, что новый подход к теории локальной плотности энергии деформации для острого V-образного выреза применим для оценки разрушения тел с V-образными вырезами при совместном использовании схем нагружения типа I и типа II.

#### ЛИТЕРАТУРА

1. **Sih G. C., Ho J. W.** Sharp notch fracture strength characterized by critical energy density // Theor. Appl. Fract. Mech. 1991. V. 16. P. 179–214.
2. **Овчаренко Ю. Н.** Плотность энергии деформации в линейной механике разрушения применительно к V-образным вырезам // Изв. Тул. гос. ун-та. Сер. Актуальные вопр. механики. 2006. Т. 1, вып. 2. С. 141–149.
3. **Sih G. C.** Strain energy density factor applied to mixed mode crack problems // Intern. J. Fract. 1974. V. 10, N 3. P. 305–321.
4. **Wong A. K.** On the application of the strain energy density theory in predicting crack initiation and angle of growth // Engng Fract. Mech. 1997. V. 27, N 2. P. 157–170.

*Поступила в редакцию 18/I 2013 г.,  
в окончательном варианте — 25/IV 2013 г.*

---